再電離期の銀河観測を用いた原始揺らぎの制限について

SKA Japanワークショップ 2022

2023年3月9日

<u>吉浦伸太郎(国立天文台)高橋智(佐賀大)</u>

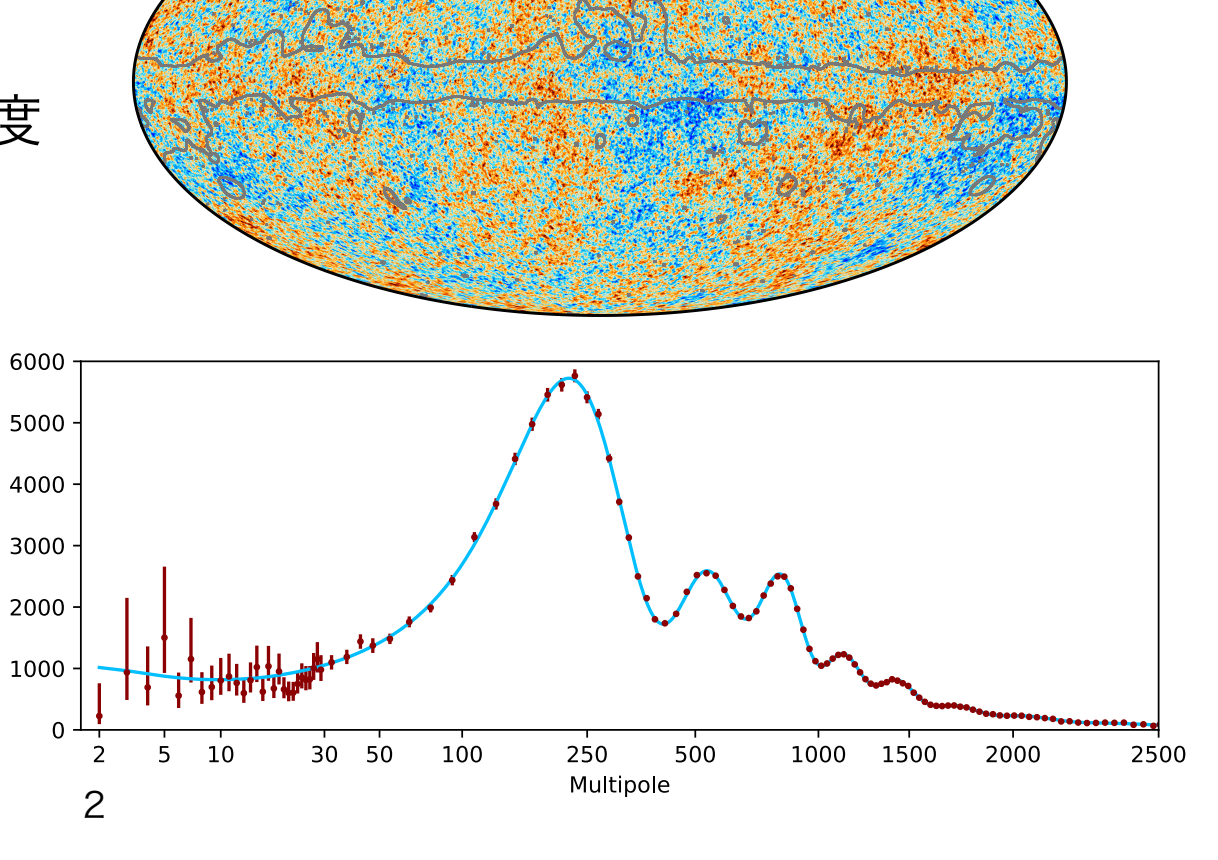
原始曲率揺らぎ

CMBの温度揺らぎの観測など > 原始曲率揺らぎの存在が示唆

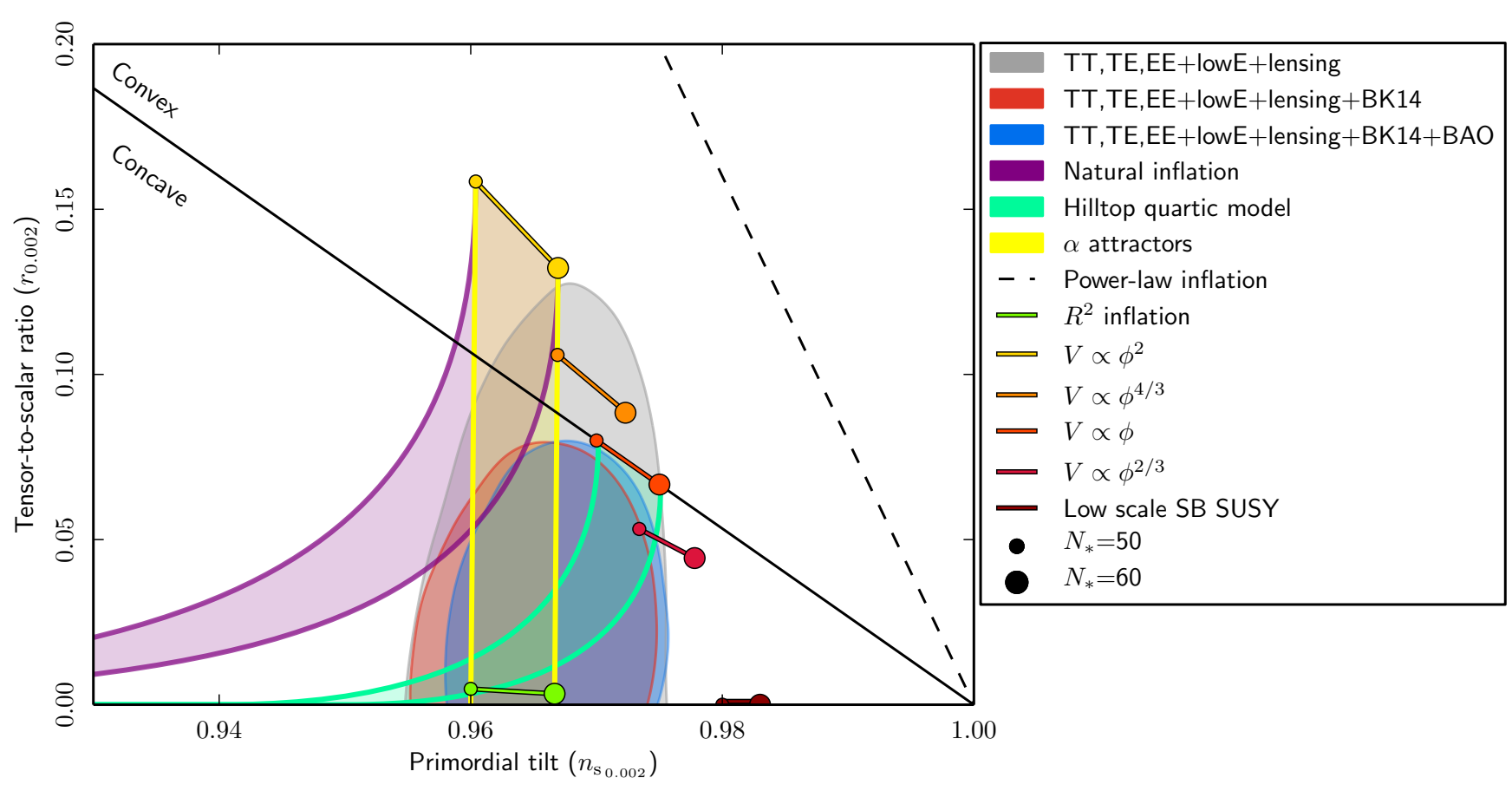
断熱揺らぎ(波数の単一べき)で精度 よく説明

原始曲率揺らぎの性質の詳細な観測

> 初期宇宙のゆらぎ生成機構 (インフレーションモデル)の解明 🖫



原始曲率揺らぎとインフレーション



原始曲率揺らぎの定式化

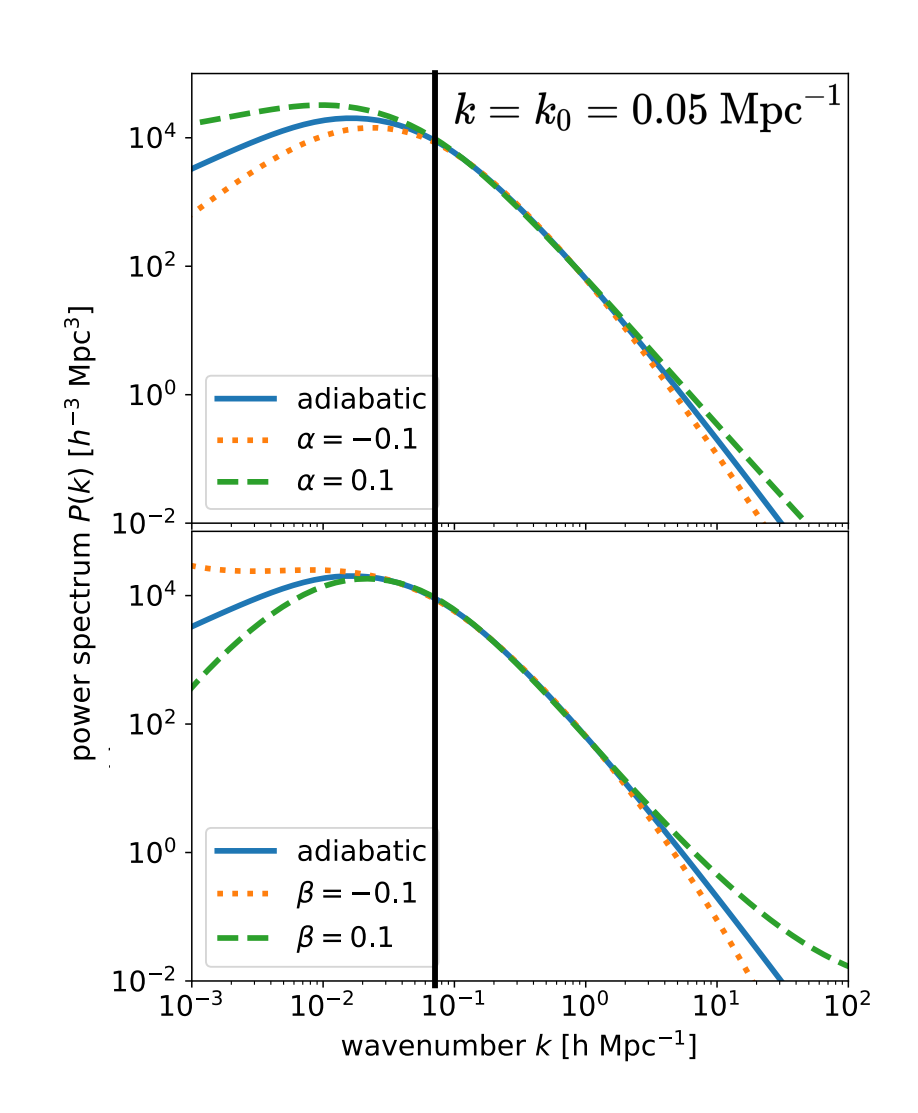
さまざまなインフレーションモデル > 原始揺らぎに特徴的なふるまい

等曲率揺らぎ、テンソルモードのスペクトル

インフラトンのポテンシャル、スローロールパラメータ

<u>本研究ではランニングスペクトルを議論</u>

$$\mathcal{P}(k) = A_s igg(rac{k}{k_0}igg)^{n_s-1+rac{1}{2}oldsymbol{lpha_s}\ln\left(rac{k}{k_0}
ight)+rac{1}{6}oldsymbol{eta_s}\left[\ln\left(rac{k}{k_0}
ight)
ight]^2}{4}$$



ランニングパラメータの制限

$$\mathcal{P}(k) = A_s igg(rac{k}{k_0}igg)^{n_s-1+rac{1}{2}lpha_s\ln\left(rac{k}{k_0}
ight)+rac{1}{6}eta_s\left[\ln\left(rac{k}{k_0}
ight)
ight]^2}$$

$$\beta_s = 0.009 \pm 0.012,$$

$$\alpha_s = 0.0011 \pm 0.0099,$$

$$n_{\rm s} = 0.9647 \pm 0.0043$$
,

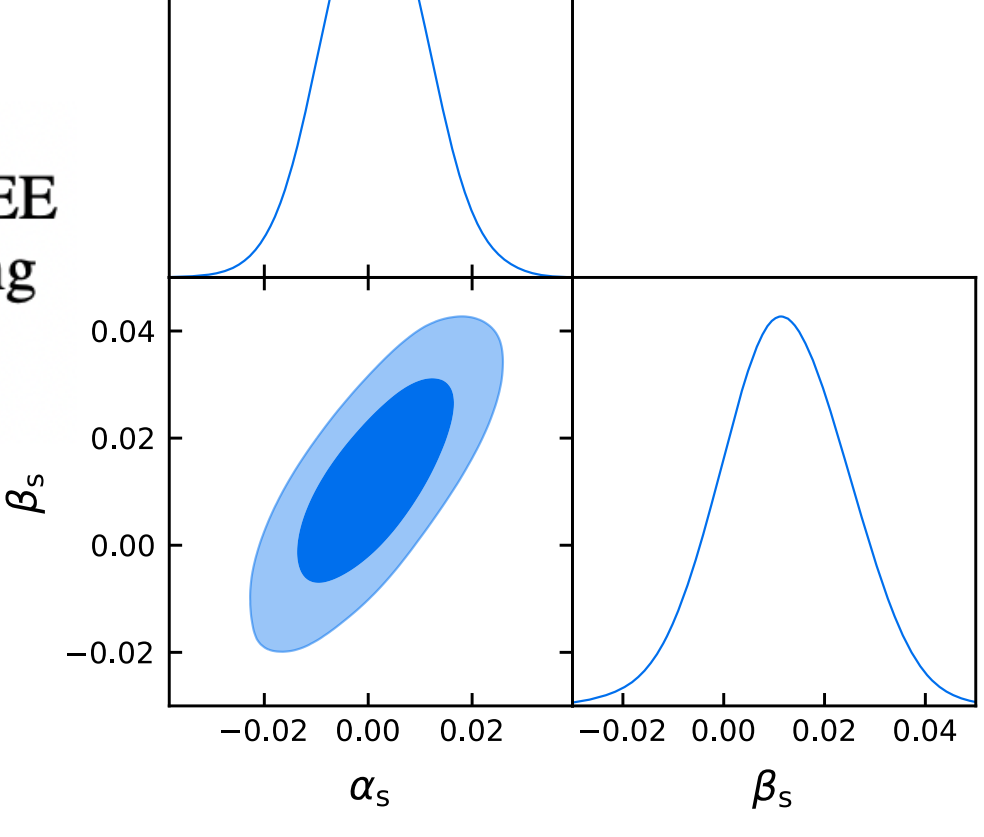
68 %, TT,TE,EE +lowE+lensing +BAO.

Planck 2018の結論:

単一冪乗で無矛盾である

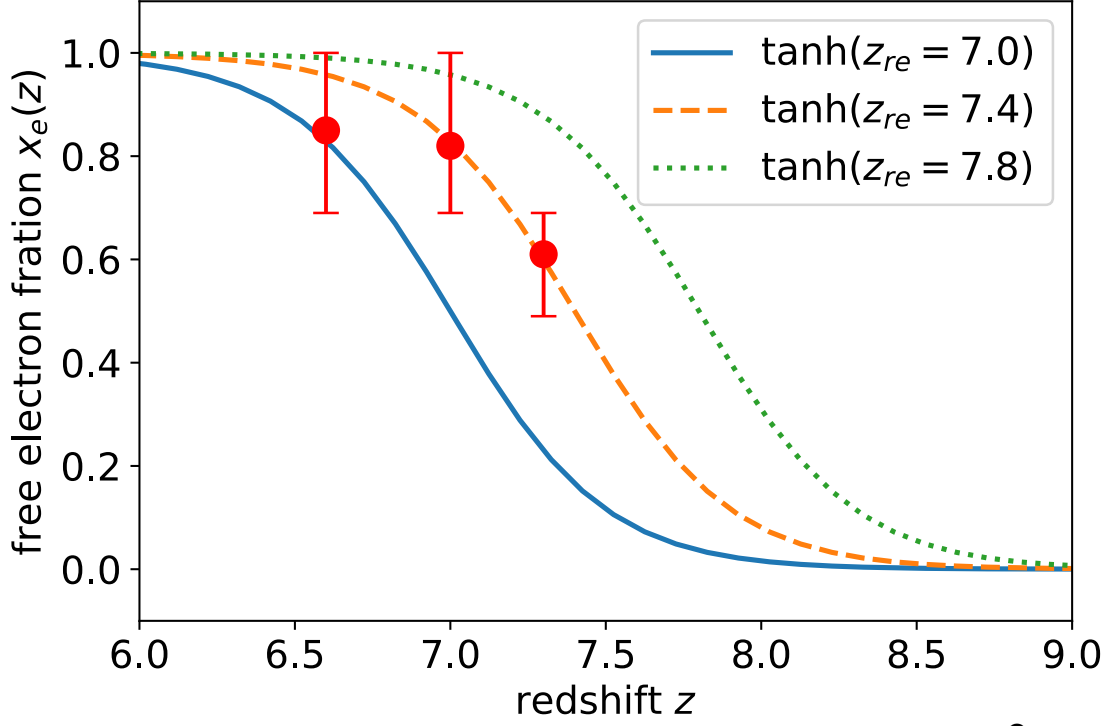
 $0.008~\mathrm{Mpc^{-1}} \lesssim k \lesssim 0.1~\mathrm{Mpc^{-1}}$

より小さいスケールではどうか?



原始揺らぎの新たなプローブ: 再電離史

$$x_{
m e}(z,z_{
m re}) = rac{1}{2} iggl[1 + anh \left(rac{y(z_{
m re}) - y(z)}{\Delta y}
ight) iggr],$$



$$egin{aligned} y(z) &= (1+z)^{2/3}, \ \Delta y &= 3/2(1+z_{
m re})^{1/2}\Delta z \ \Delta z &= 0.5 \end{aligned}$$

THE ASTROPHYSICAL JOURNAL

OPEN ACCESS

SILVERRUSH. XI. Constraints on the Ly α Luminosity Function and Cosmic Reionization at z=7.3 with Subaru/Hyper Suprime-Cam

Hinako Goto¹ (D), Kazuhiro Shimasaku^{1,2} (D), Satoshi Yamanaka^{3,4} (D), Rieko Momose¹ (D), Makoto Ando¹, Yuichi Harikane^{5,6} (D), Takuya Hashimoto⁷ (D), Akio K. Inoue^{4,8} (D), and Masami Ouchi^{5,9,10} (D)

Published 2021 December 24 • © 2021. The Author(s). Published by the American Astronomical Society. The Astrophysical Journal, Volume 923, Number 2

Citation Hinako Goto et al 2021 ApJ 923 229

DOI 10.3847/1538-4357/ac308b

再電離史の理論計算

A. Mesinger, S. Furlanetto, & R. Cen (2011), MNRAS, 411, 955

準数値計算コード"21cmFAST"を拡張する

再電離史を決定する重要な量:

星形成率

(1) UV光度関数

$$\phi(M_{
m UV}) = \left(f_{
m duty}rac{dn}{dM_{
m h}}
ight) \left|rac{dM_{
m h}}{dM_{
m UV}}
ight|$$

ハローの形成史 初期条件(曲率揺らぎ) 宇宙論パラメータ Duty cycle is parametrized by M_{turn}:

$$f_{
m duty} \, = \exp\!\left(-rac{M_{
m turn}}{M_{
m h}}
ight)$$

再電離史の理論計算

(2) 星形成率

$$\dot{M}_*(M_{
m h},z) = rac{M_*}{t_* H(z)^{-1}}$$

 t_\star :ハッブル時間に対する 星形成の典型的な時間

(3) 星質量-八口一質量関係

$$rac{M_*}{M_{
m h}} = f_{*,10}igg(rac{M_{
m h}}{10^{10}M_\odot}igg)^{lpha_*}igg(rac{\Omega_{
m b}}{\Omega_{
m m}}igg)$$

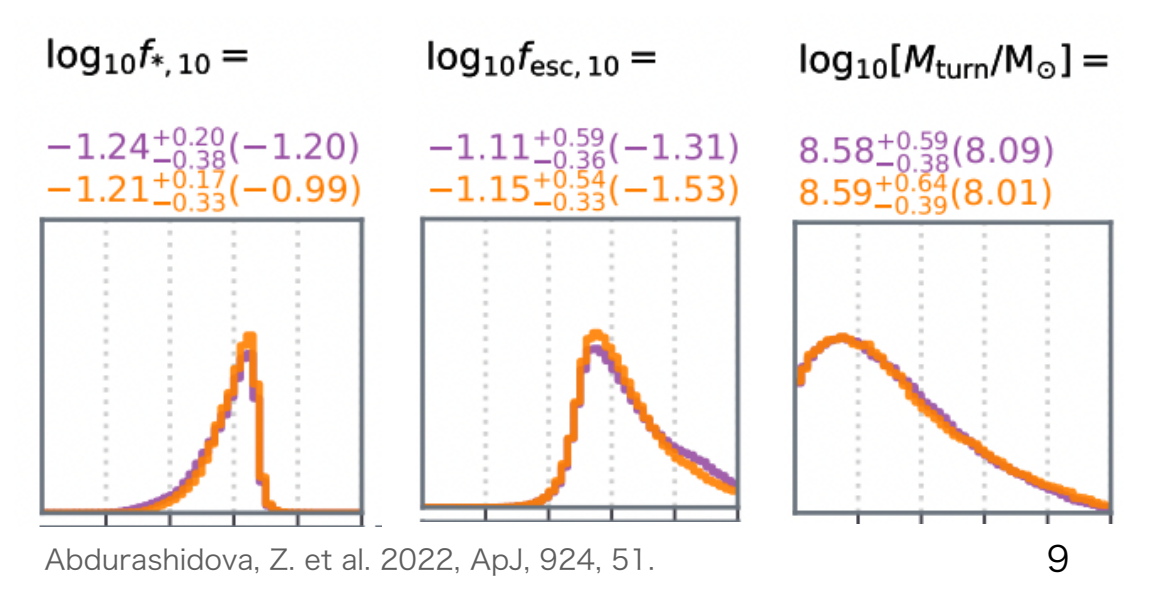
(4) 電離光子脱出率

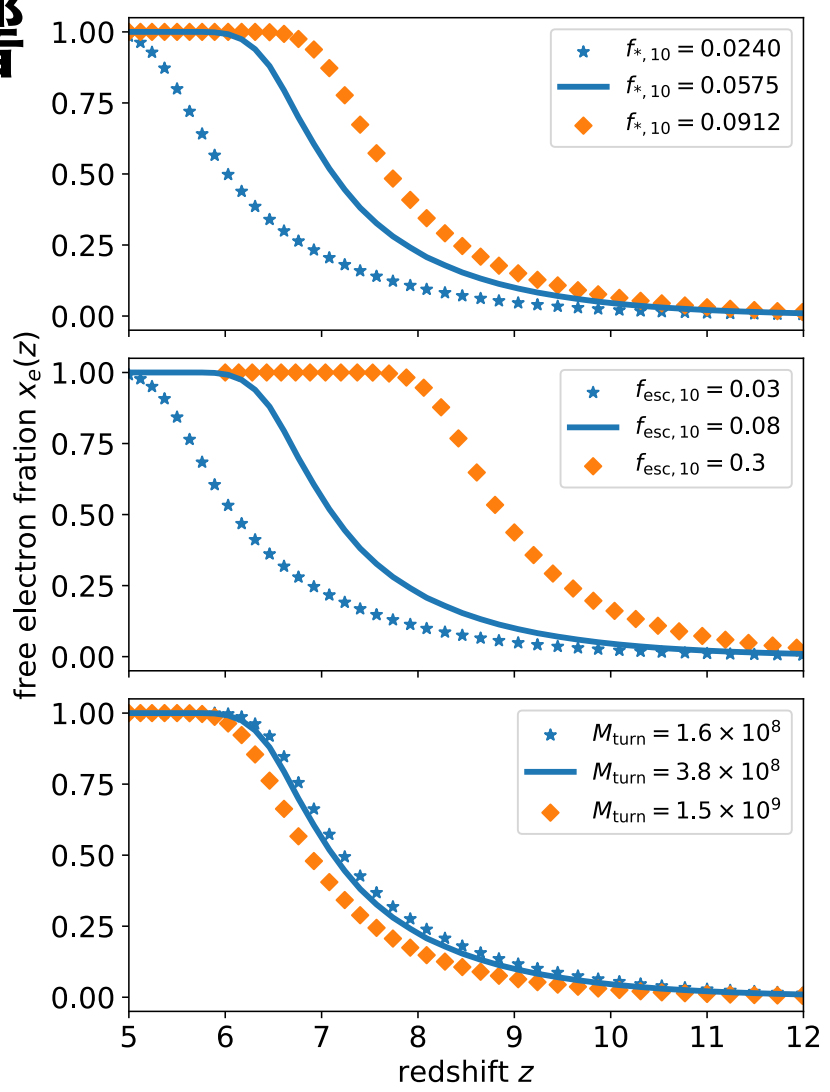
$$f_{
m esc}(M_{
m halo})=f_{
m esc,10}igg(rac{M_{
m halo}}{10^{10}M_{\odot}}igg)^{lpha_{
m esc}},$$
 特に影響の大きいパラメータ: $M_{
m turn},f_{
m esc,10},f_{*,10}$

再電離史への天体物理的影響

21cmFASTの天体物理パラメータへの制限 (宇宙論パラメータの不定性は含まない)

HERA 21cm PS + galaxy UV LFs + QSO dark fraction + CMB optical depth





21cmFASTのフィッティング関数

 $E = -3.11\beta_s + 1.08.$

$$x_{\mathrm{e}}(z=7.3) = \min(1.0,\tilde{x}_{\mathrm{e},7.3}),$$
 $x_{\mathrm{e},7.3} = \left\{0.421\mathrm{e}^{A} + B\left[\left(\frac{f_{*,10}}{0.058}\right)^{C} - 1.0\right]\right\}$ $\left(\frac{f_{\mathrm{esc},10}}{0.078}\right)^{E}$ $\left(\frac{g}{0.058}\right)^{C}$ $\left(\frac{g}{0.058}\right)^{C}$ $\left(\frac{f_{\mathrm{esc},10}}{0.078}\right)^{E}$ $\left(\frac{g}{0.058}\right)^{E}$ $\left(\frac{g}{$

SILVERRUSHの観測エラーは \sim 0.02 $0.49 \leq x_{
m e} \leq 0.69 ext{ at } z = 7.3.$

MCMC解析

Flat prior:

-0.2 < alpha < 0.2

-0.2 < beta < 0.2

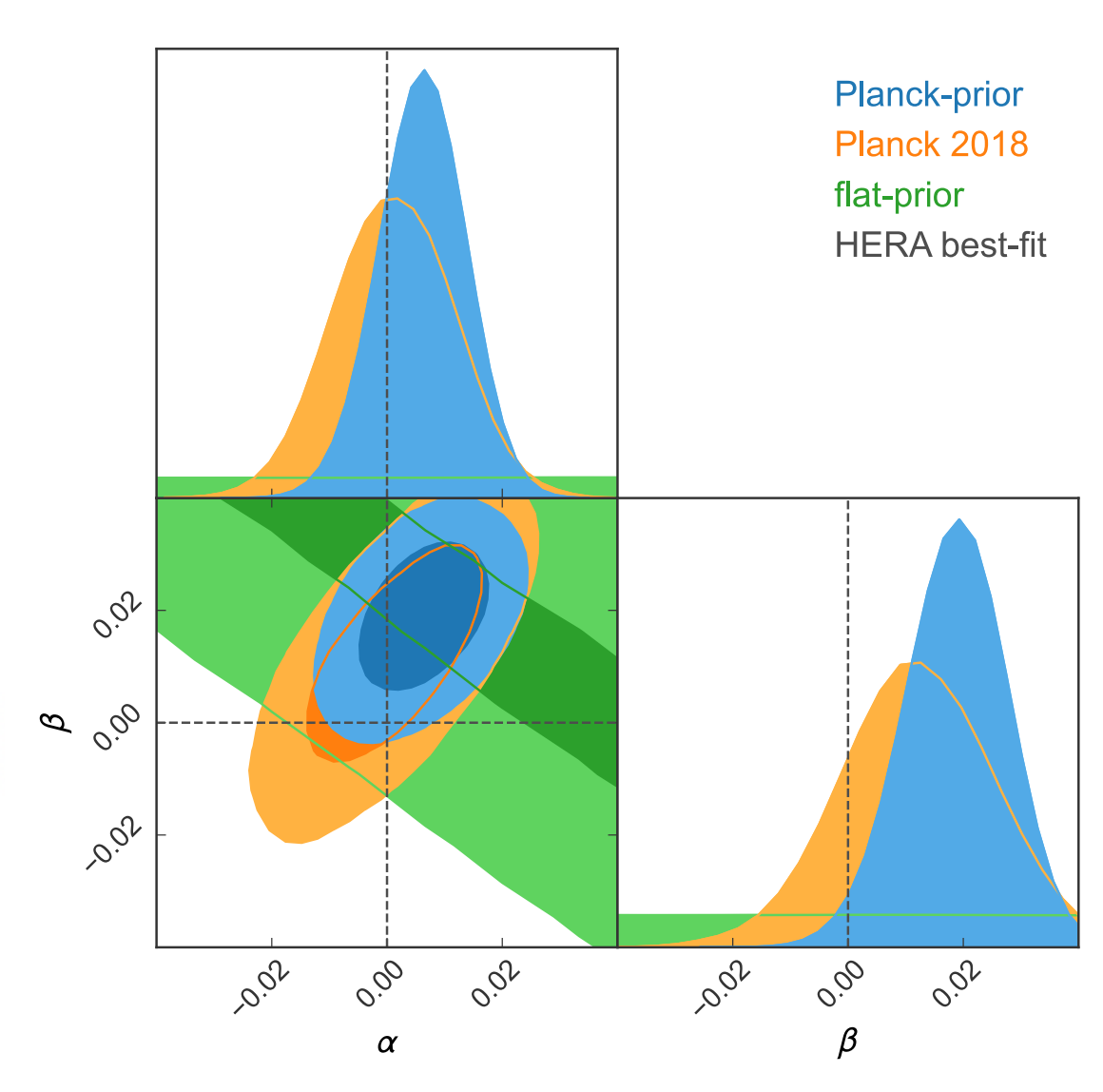
Planck prior:

2D gaussian on alpha and beta, with Planck 2018 covariance matrix

Planck 2018
$$\alpha_s = 0.0011 \pm 0.0099,$$
 $\beta_s = 0.009 \pm 0.012,$

Our results

$$lpha_s = 0.006^{+0.007}_{-0.007} \ eta_s = 0.019^{+0.008}_{-0.009}$$



MCMC解析

Flat prior:

-0.2 < alpha < 0.2

-0.2 < beta < 0.2

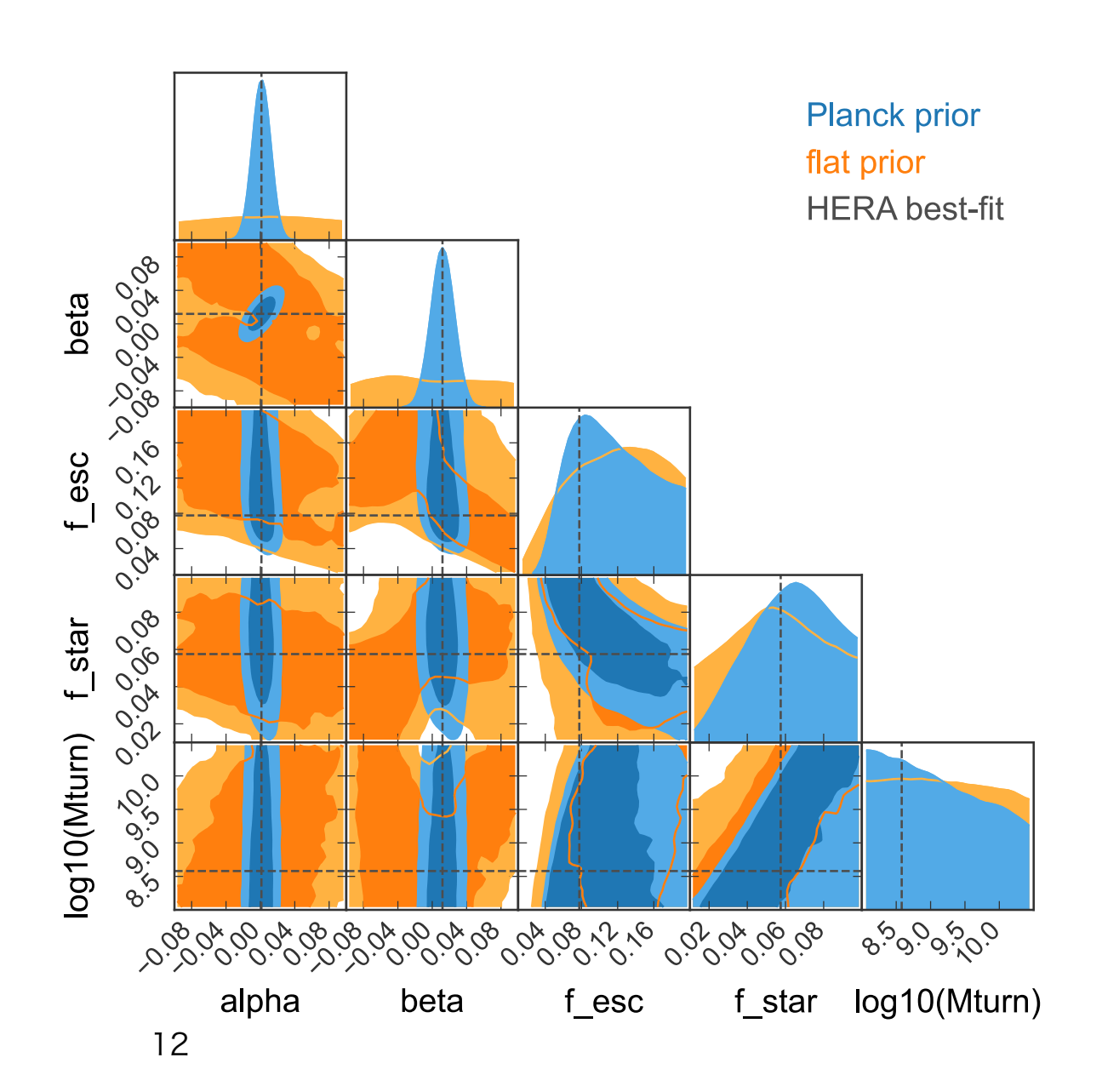
0.001 < fesc < 0.4

0.001 < fstar < 0.4

7.0 < log M < 10.5

Planck prior:

2D gaussian on alpha and beta



MCMC解析

Flat prior:

-0.2 < alpha < 0.2

-0.2 < beta < 0.2

0.001 < fesc < 0.4

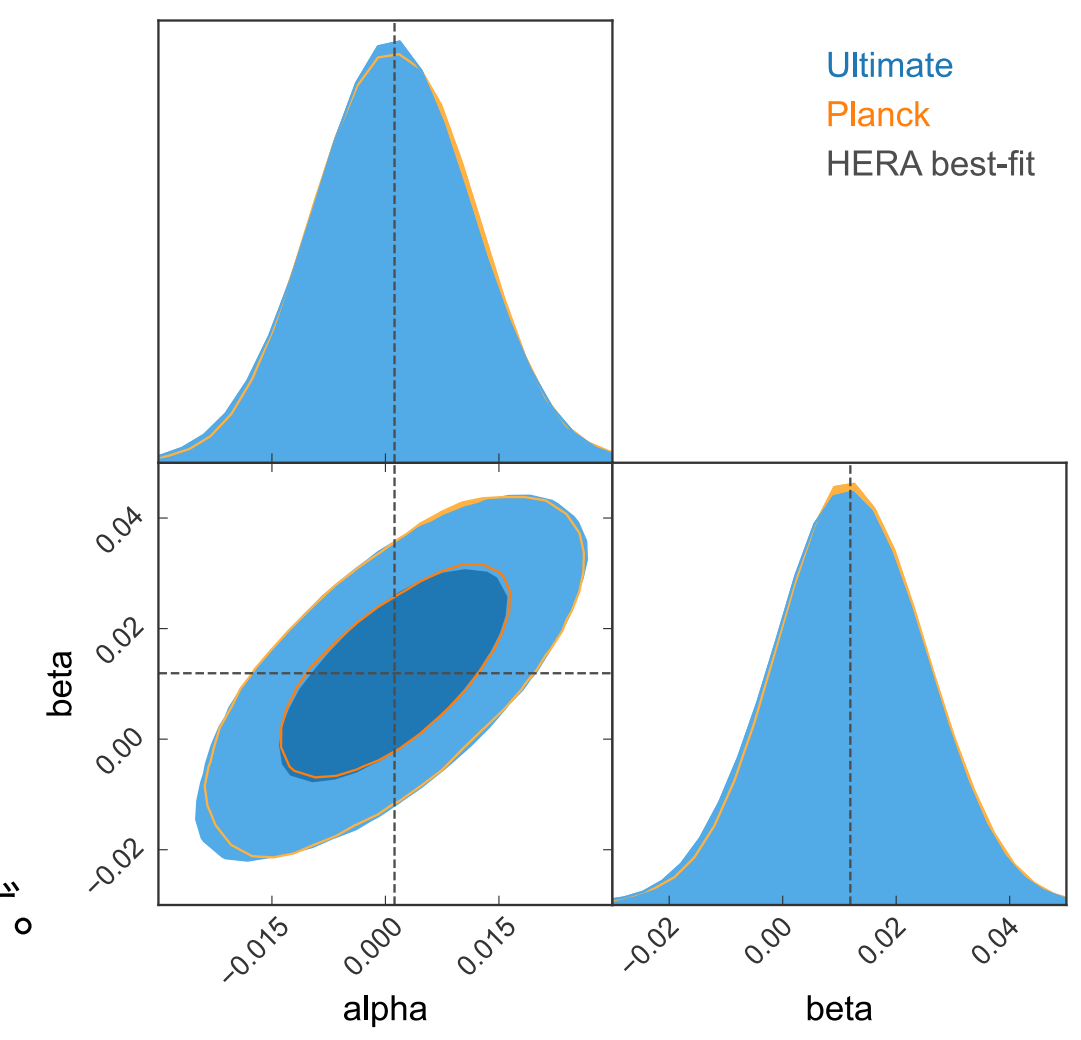
0.001 < fstar < 0.4

7.0 < log M < 10.5

Planck prior:

2D gaussian on alpha and beta

Runningの制限はほとんど変わらず。 astroの制限には有用かも?



Future issues

・JWSTなどの高赤方偏移銀河やAGNの観測で再電離・宇宙の夜明けが明らかになりつつある > SKAの観測などによるデータのアップデート

・その他の宇宙論パラメータ、天体物理パラメータ (f_star, f_escの指数など) との縮退

・Global signalを用いた制限との比較 (escape fractionよりもX線加熱に sensitive, c.f. Minoda+ 2021 [2112.15135])